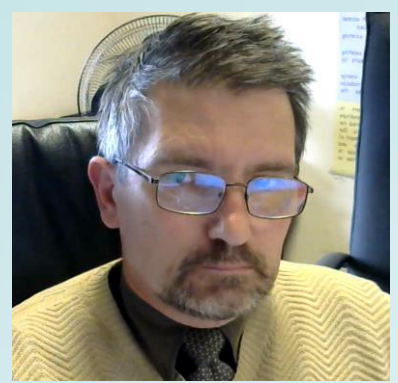


Introduction à l'Informatique Quantique

Eric Bourreau, LIRMM (Laboratoire d'Informatique Robotique et Microélectronique de Montpellier)

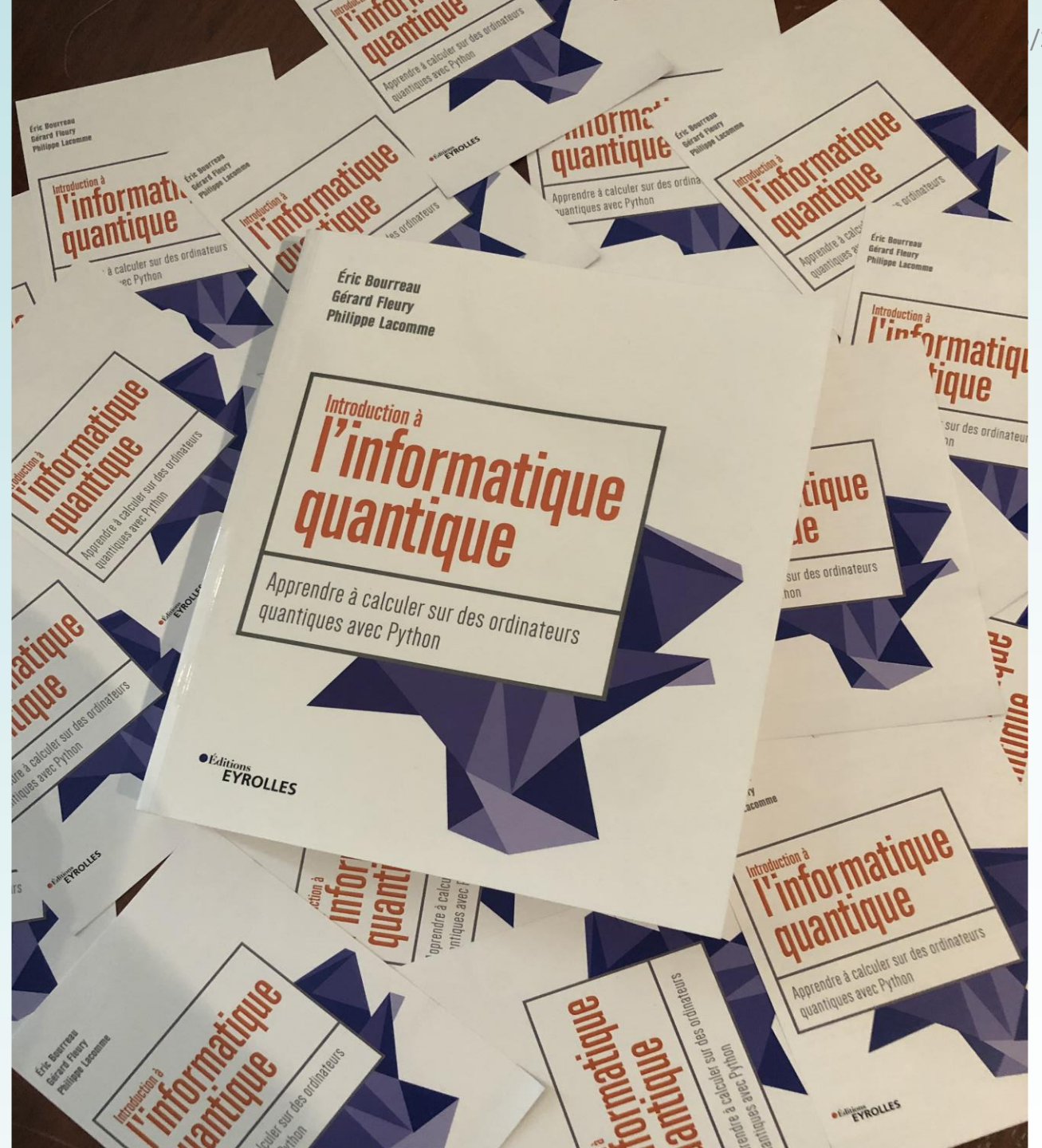
Université de Montpellier



Philippe Lacomme (LIMOS)



Gérard Fleury (LIMOS)



Contexte

- GDR RO → Recherche Opérationnelle Quantique
- Introduction
 - Concepts
 - Machines / Technologies
 - Algorithmes
- Algo quantique avec Grover sur un problème NP-complet
 - Problème
 - Modèle
 - Code et résolution live
- Conclusions/Perspectives



Informatique Quantique



- Un ordinateur quantique

- Richard Feynmann

- Simulating Physics with Computers***, Int. J. Theor. Physics, vol 21, n°6/7, 1982, pp 471-493

- « ...a place where the relationship of physics and computation has turned itself the other way and told us something about the possibilities of computation ... »*

- « Can you do it with a new kind of computer--a quantum computer? »*

- Des phénomènes étranges

- **Superposition**

- **Intrication**

- **Fragilité d'observation**





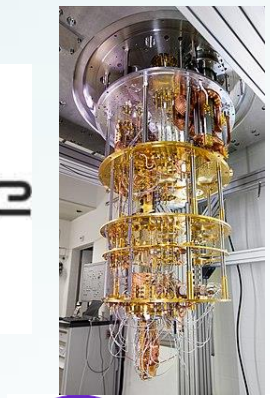
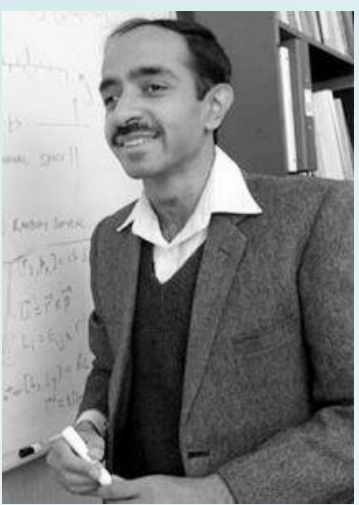
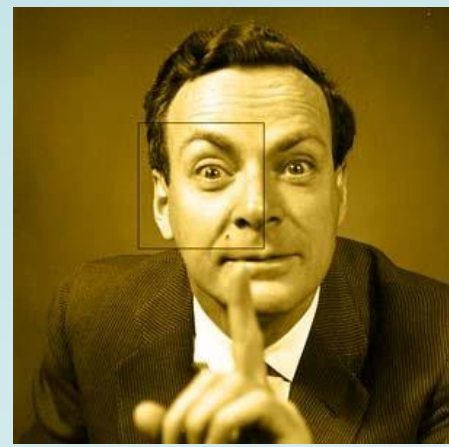
De la théorie à la pratique

1982 Feynmann → 1994 Shor → 1996 Grover

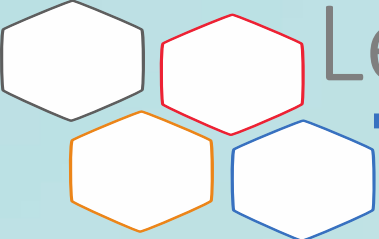
→ 2000 : 5 Qubits computer → 2011 Dwave computer
 → 2019 Google Quantum Supremacy

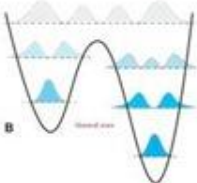
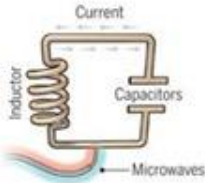
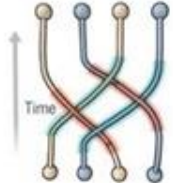
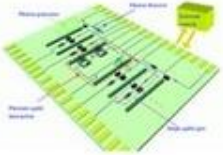
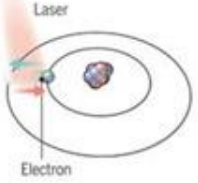
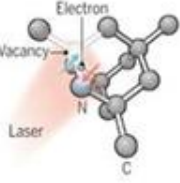


Zuchongzhi



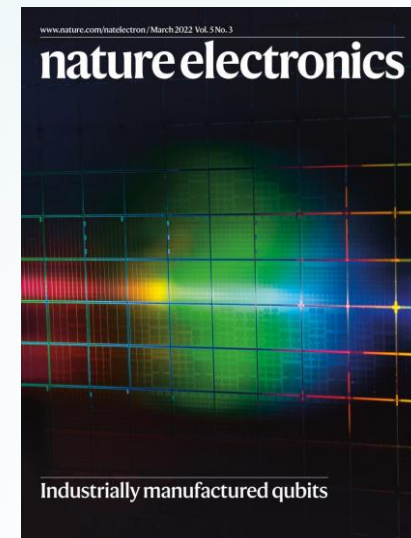
Les machines



							
	recuit quantique	boucles supra-conductrices	qubits topologiques	optique linéaire	quantum dots silicium	ions piégés	cavités diamants
qubit	supraconducteur effet Josephson	supraconducteur effet Josephson	quasi-particules faites de paires d'anyons	photons	spin d'électrons dans semi-conducteur	ions piégés magnétiquement	spin de noyau d'atomes
# qubit	2048 qubits (D-Wave)	50 qubits (IBM) 72 qubits (Google)	N/A	quelques-uns	49 qubits (Intel)	53 qubits (IonQ) 51 qubits (MIT) 20 qubits (IQOQI)	6 qubits (QDTI)
état	sens du courant	phase de résonance ou sens du courant	sens de l'anyon	phase de photon	spins d'électrons	niveau énergétique de l'ion piégé	niveau d'énergie de la cavité
portes	micro-ondes 5 GHz et effet Josephson	micro-ondes 5 GHz et effet Josephson	inversions 2D d'anyons	filtres polarisants et dichroïques	micro-ondes	laser	laser
mesure	magnétomètre	magnétomètre	fusion d'anyons	détecteurs de photons	consersion spins to charge	fluorescence	fluorescence

Source : frenchweb.fr

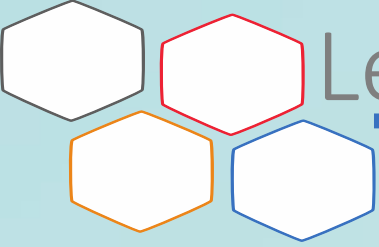
- Pasqal : atomes froids, 100+ qubits



Les start-ups

The image displays a collection of logos for quantum computing start-ups, organized into three horizontal sections. Each section is labeled on the left side of the grid.

- logiciels:** This section includes logos for software and services such as SolidStateAI, Ankh .1, D Slit Technologies, Aurora, APEXQUBIT, QunaSys, CogniFrame, Qudot, STRATUM AI, QUANTASTICA, softwareQ, PHASECRAFT, NETRAMARK, BOXCAT, XOFAA, QBITLOGIC, Q^xBranch, IANYON, STRANGE WORKS, |Ketita), QCWARE, ZAPATA, GILIMANJARO, and NQCG. Other logos in this row include ProteinOure, HQS, BOHR, IQBit, HORIZON, Artiste-qb.net, AGNOSTIQ LABS, ENTROPICA LABS, $\langle b|e^{\dagger}$, Q-CTRL, COC, $\langle q|b$, Tokyo Quantum Computing, HORIZON, MENTEN AI, QULAB, QINDOM, and GTN.
- ordinateurs:** This section features logos for hardware manufacturers like D:wave, rigetti, IONQ, MDR, PSIQUANTUM, BraneCell, bleXimo, XANADU, universität innsbruck, AQT, QM, QCI, TURING, OQC, PASQAL, EeroQ, MDR, NQCG, and QUIX.
- composants:** This section lists logos for component providers including Sparrow Quantum, SEE, CryoConcept, intelline, Delft Circuits, LakeDiamond, QUANDELA, OXFORD INSTRUMENTS, BlueFors, CRYOMECH, JANIS, kiutra, Labber QUANTUM, ColdQuanta, IQM, Q-LION, Bra-Ket Science, element six, and SPICE LABS.



Les algorithmes

(pour l'optimisation combinatoire)

- **Algorithme de Grover (1996) :**

- Trouver une solution marquée par un Oracle parmi N états
- Recherche complète
- $O(\sqrt{N})$... donc pour un espace combinatoire en $2^N \Rightarrow \sqrt{2^N}$

- Le TSP en DynProg à la Held&Carp → améliore la meilleure complexité connue $O^*(1,728^n)$

Quantum Speedups for Exponential-Time Dynamic Programming Algorithms, Ambainis et al, 2018

- **Recuit Quantique et Optimisation Adiabatique (Farhi 2000) :**

- Utilisation de la descente spontanée (ou simulée) de l'énergie d'un système observable
- Simplification d'un problème d'optimisation sous la forme d'un hamiltonien (QUBO)
- Preuve de convergence théorique

- **VQE (forme variationnelle) et QAOA (approximation) (Farhi 2014) :**

- Représentation d'un problème sous la forme d'un Hamiltonien
- Simplification de la descente adiabatique par une approche variationnelle (on teste des angles et on recommence)
- Méthode hybride (besoin d'un méta optimiseur black box sur ordinateur classique)



Jeudi 12 mai
11h00-11h45

Jeudi 12 mai
14h00-15h30

Jeudi 12 mai
16h-17h30

Vendredi 13 mai
10h30-12h30

Vendredi 13 mai
9h00-10h00

Vendredi 13 mai
14h00-16h30

Qubit

- Définition théorique :
Un bit quantique (ou QuBit) est un vecteur de norme 1 dans l'espace canonique \mathbb{C}^2 de Hilbert
- Les bases sont :

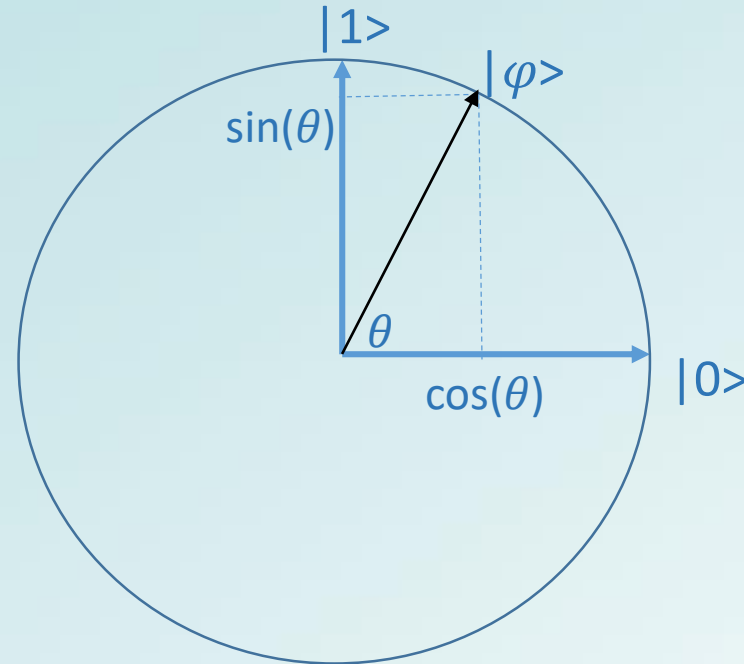
$$|0\rangle = \begin{pmatrix} 1 \\ 0 \end{pmatrix} \text{ et } |1\rangle = \begin{pmatrix} 0 \\ 1 \end{pmatrix}$$

- Son vecteur d'état est une combinaison linéaire entre les deux états $|0\rangle$ et $|1\rangle$

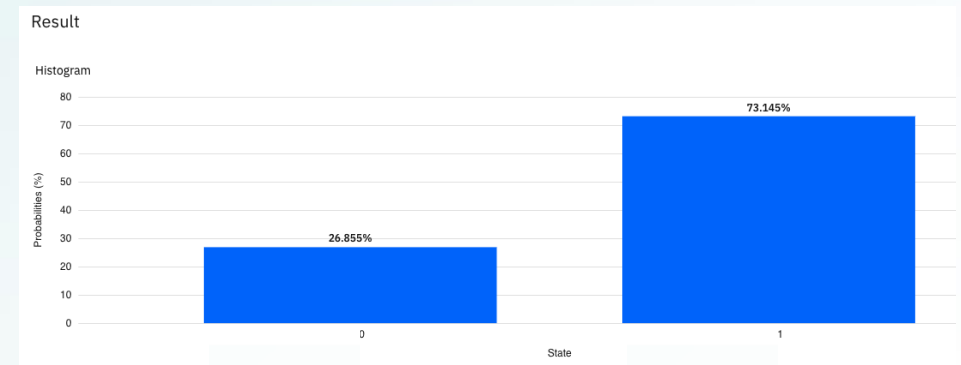
$$|\varphi\rangle = \alpha|0\rangle + \beta|1\rangle \text{ avec } |\alpha|^2 + |\beta|^2 = 1, \alpha \text{ et } \beta \in \mathbb{C}$$

(La représentation graphique ne considère ici que α et $\beta \in \mathbb{R}$)

- Un qubit peut être observé uniquement dans un état aléatoirement choisi entre $|0\rangle$ ou $|1\rangle$ avec une probabilité proportionnelle à son amplitude au carré α^2 et β^2
- Une fois mesuré un qubit est projeté définitivement dans un état (il s'écroule – *collapse*) et détruit toute son information



Il est dans un
une infinité d'
état superposé



Les portes quantiques

- Il est possible de faire des opérations sur les qubits sans détruire les états quantiques
- Ces opérateurs peuvent être représentés par des portes ou des matrices 2x2 unitaires (préservant la norme)
- Nous allons nous intéresser à 4 portes

- **X** : bitFlip (équivalent au NOT)



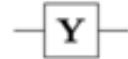
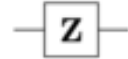
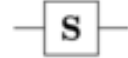
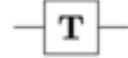
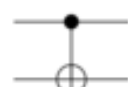
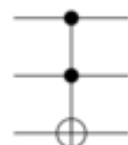
- **H** : permettant de *superposer* deux états

- **CNOT** : porte binaire *intriquant* des états

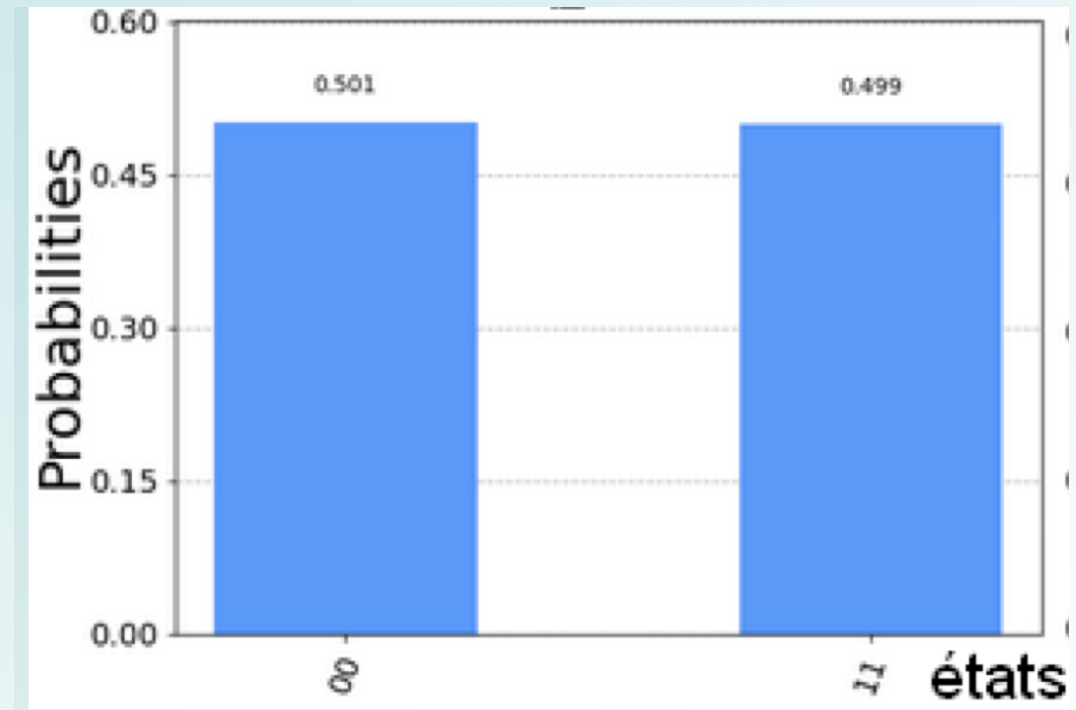
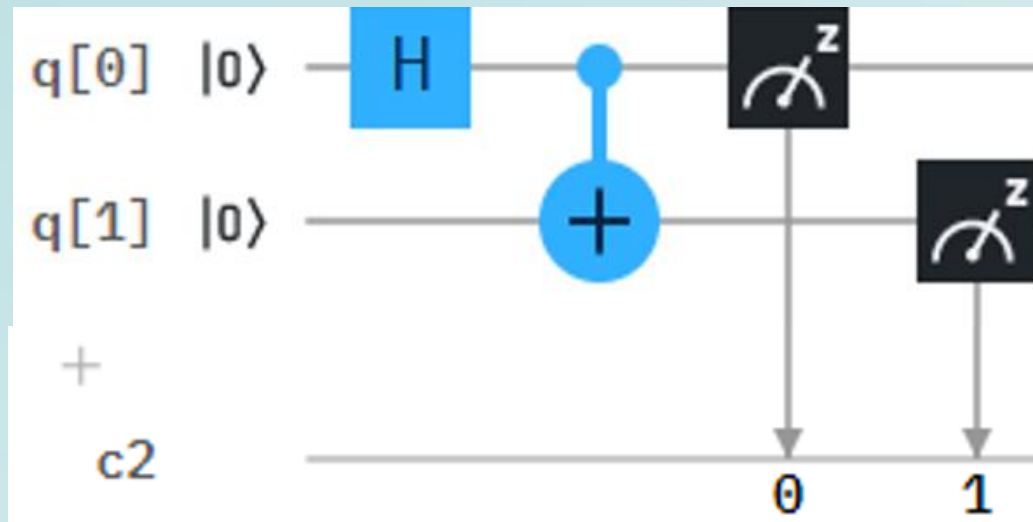


- **M** : permettant de *mesurer* un qubit

- H, S, T et CNOT forment un ensemble de portes universelles

Operator	Gate(s)	Matrix
Pauli-X (X)		$\begin{bmatrix} 0 & 1 \\ 1 & 0 \end{bmatrix}$
Pauli-Y (Y)		$\begin{bmatrix} 0 & -i \\ i & 0 \end{bmatrix}$
Pauli-Z (Z)		$\begin{bmatrix} 1 & 0 \\ 0 & -1 \end{bmatrix}$
Hadamard (H)		$\frac{1}{\sqrt{2}} \begin{bmatrix} 1 & 1 \\ 1 & -1 \end{bmatrix}$
Phase (S, P)		$\begin{bmatrix} 1 & 0 \\ 0 & i \end{bmatrix}$
$\pi/8$ (T)		$\begin{bmatrix} 1 & 0 \\ 0 & e^{i\pi/4} \end{bmatrix}$
Controlled Not (CNOT, CX)		$\begin{bmatrix} 1 & 0 & 0 & 0 \\ 0 & 1 & 0 & 0 \\ 0 & 0 & 0 & 1 \\ 0 & 0 & 1 & 0 \end{bmatrix}$
Controlled Z (CZ)		$\begin{bmatrix} 1 & 0 & 0 & 0 \\ 0 & 1 & 0 & 0 \\ 0 & 0 & 1 & 0 \\ 0 & 0 & 0 & -1 \end{bmatrix}$
SWAP		$\begin{bmatrix} 1 & 0 & 0 & 0 \\ 0 & 0 & 1 & 0 \\ 0 & 1 & 0 & 0 \\ 0 & 0 & 0 & 1 \end{bmatrix}$
Toffoli (CCNOT, CCX, TOFF)		$\begin{bmatrix} 1 & 0 & 0 & 0 & 0 & 0 & 0 & 0 \\ 0 & 1 & 0 & 0 & 0 & 0 & 0 & 0 \\ 0 & 0 & 1 & 0 & 0 & 0 & 0 & 0 \\ 0 & 0 & 0 & 1 & 0 & 0 & 0 & 0 \\ 0 & 0 & 0 & 0 & 1 & 0 & 0 & 0 \\ 0 & 0 & 0 & 0 & 0 & 1 & 0 & 0 \\ 0 & 0 & 0 & 0 & 0 & 0 & 0 & 1 \\ 0 & 0 & 0 & 0 & 0 & 0 & 1 & 0 \end{bmatrix}$

Hello World (superposé et intriqué)

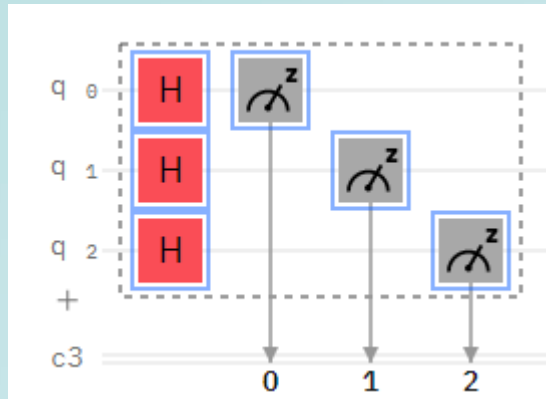


« Etat de Bell »

$$\frac{1}{\sqrt{2}} |00\rangle + \frac{1}{\sqrt{2}} |11\rangle$$

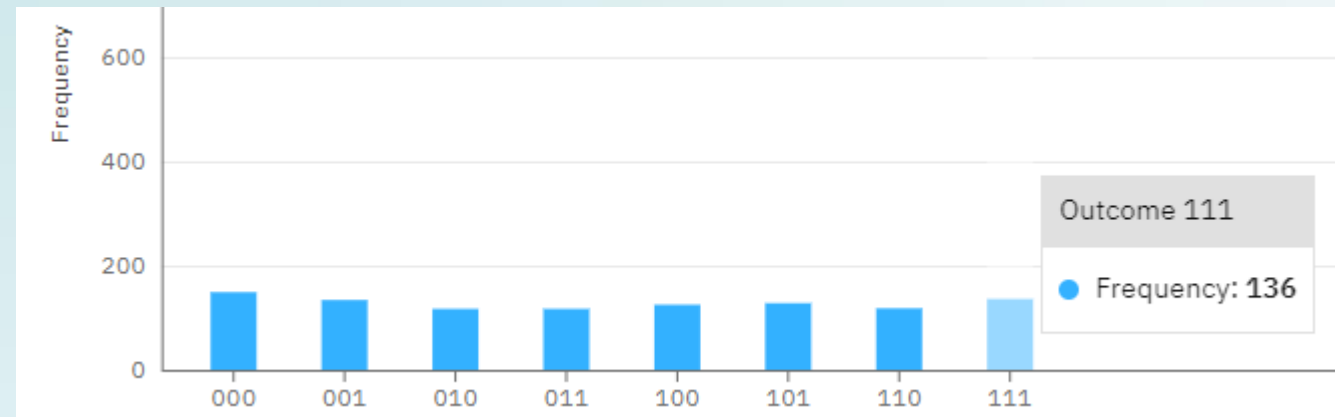
~~$$|\varphi_1\rangle \otimes |\varphi_2\rangle = \alpha_1 \alpha_2 |00\rangle + \alpha_1 \beta_2 |01\rangle + \beta_1 \alpha_2 |10\rangle + \beta_1 \beta_2 |11\rangle$$~~

Représenter des entiers (simultanément)



- Un registre de 3 QuBits s'écrit $|q_2q_1q_0\rangle$ (représentation binaire d'un entier)
- Chaque Qubit superpose l'état $|0\rangle$ et $|1\rangle$ équitablement (porte H)
- La lecture des 3 QuBits (portes grises) fournit aléatoirement un chiffre entre 0 et 7
- L'exécution 1000 fois de ce circuit fournit une distribution de probabilités

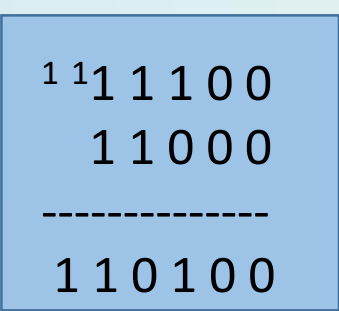
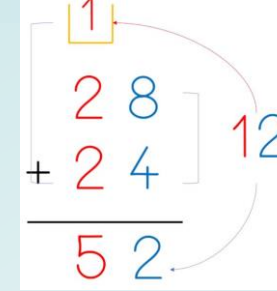
Exemple : 3 qubits, 8 états



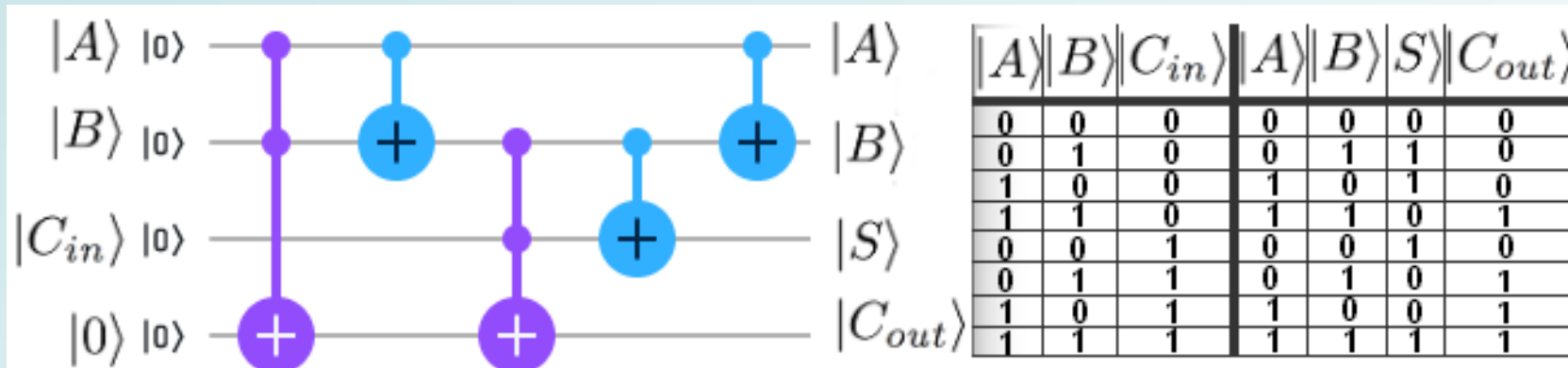
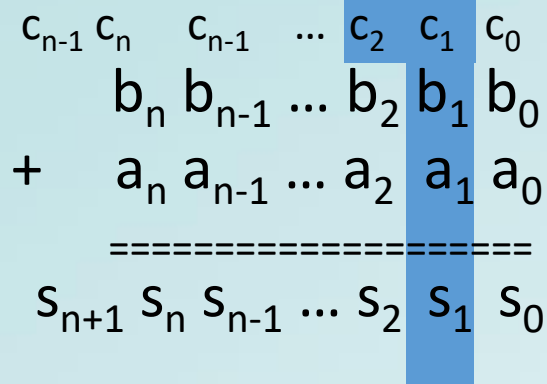
"The rule of simulation that I would like to have is that the number of computer elements required to simulate a large physical system is only to be proportional to the space-time volume of the physical system. I don't want to have an explosion. That is, if you say I want to explain this much physics, I can do it exactly and I need a certain-sized computer. If doubling the volume of space and time means I'll need an exponentially larger computer, I consider that against the rules" Feynmann 1982

Remarque : 40 QuBits peuvent « stocker » un Tera d'états.

L'addition (adder)



- Des entiers A, B représentés sur des registres de taille $\lceil \log_2(A) \rceil$ et $\lceil \log_2(B) \rceil$
- Somme entre deux entiers comme à l'école : $A+B=S$

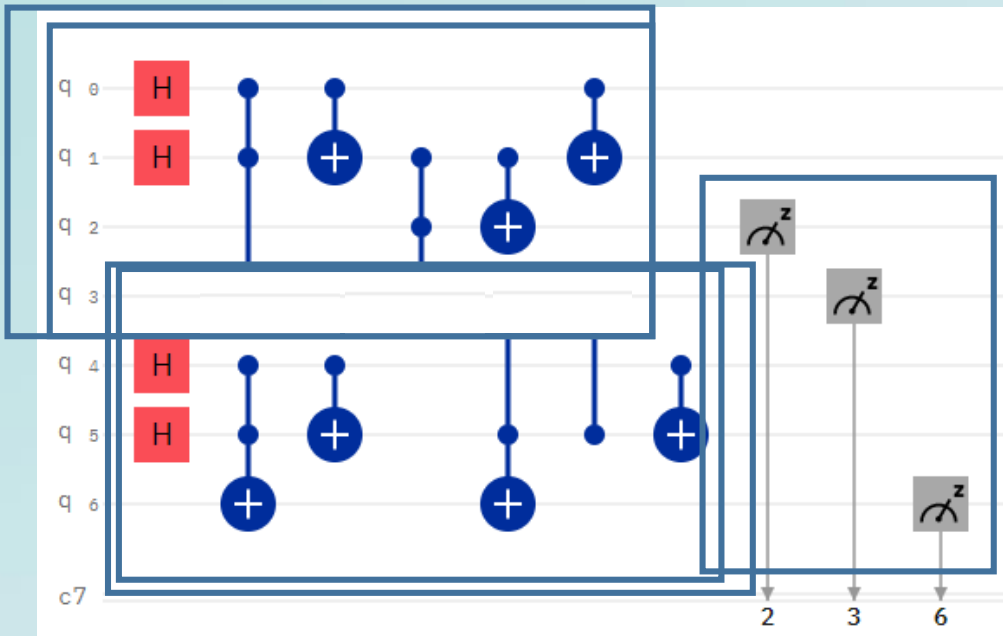
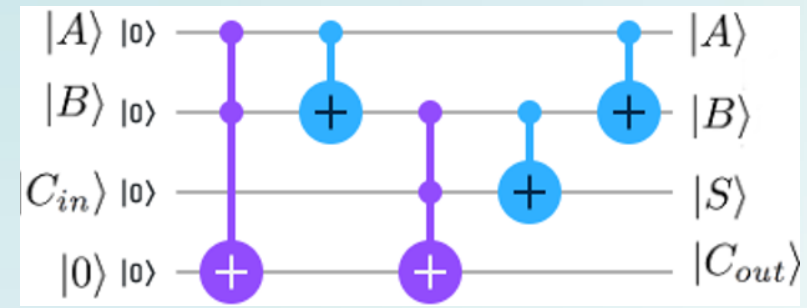


Correction Somme

Additionnons 2 registres A et B (stockés sur 2 QuBits) dans S (3 QuBits)

$$A = |q_4q_0\rangle \quad B = |q_5q_1\rangle \quad S = |q_6q_3q_2\rangle$$

A
D
D
E
R



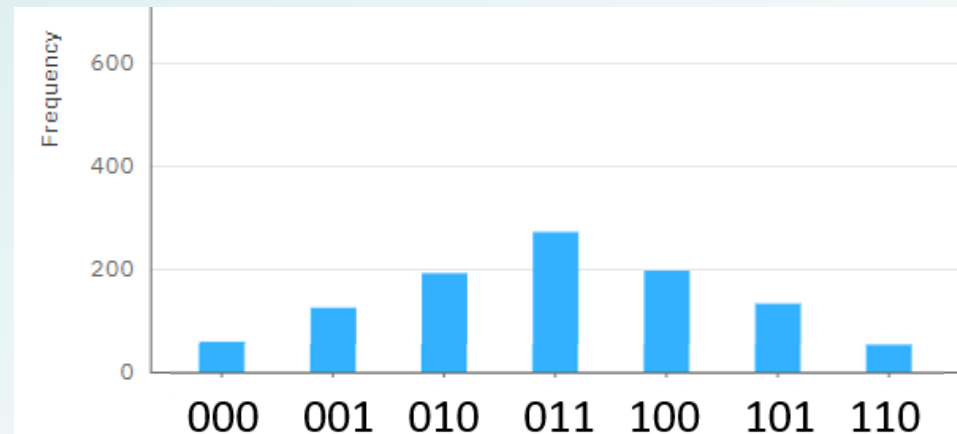
$$c_2 c_1$$

$$b_1 b_0$$

$$+ a_1 a_0$$

$$c_2 s_1 s_0$$

a_0
 b_0
0 .. s_0 ←
.. c_1 .. s_1 ←
 a_1
 b_1
.. c_2 ←



- Il « manque » l'état 111
- Les probabilités correspondent à la convolution des deux lois de probabilité uniforme ... en $0(10)$

Dérivés de la somme

- Circuit itéré de la somme (et bien plus)

- « *Quantum Networks for Elementary Arithmetic Operations* », Vedral et al, *Physical Review* 95

- Circuit optimisé de la somme

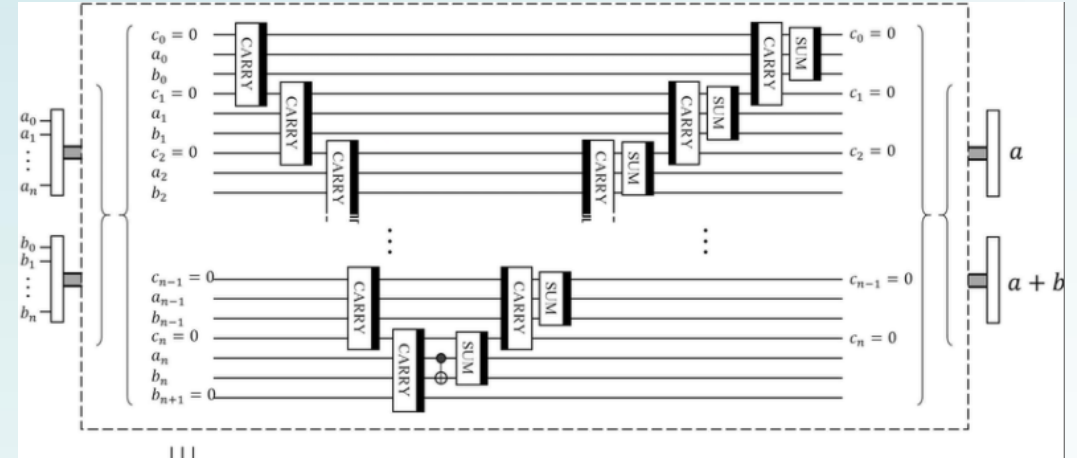
- Steven Cuccaro, Thomas Draper, Samuel Kutin, and David Moulton. *A new quantum ripple-carry addition circuit*. 11 2004. 15
- $(a,b) \Rightarrow (a, a+b) + 1 \text{ carry}$

- Circuit de la soustraction

- *Circuit de la somme de droite à gauche*
- $(a,b) \Rightarrow (a, b-a)$

- Circuit de la comparaison

- À partir de la soustraction, on teste le résultat du carry : 0 si $b \geq a$ et 1 sinon, on inverse le carry (car on cherche le booléen $a < b$) puis on refait l'addition
- $(a,b) \Rightarrow (a, b-a) + \text{carry} \Rightarrow (a,b) + \text{carry} \ll a < b \gg$



L'informatique quantique



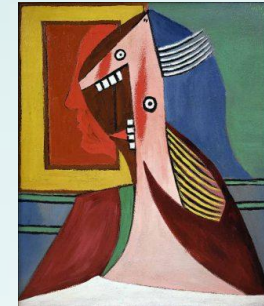
Bit d'info de profil
0 1



Superposition



Déformation de la fonction d'onde



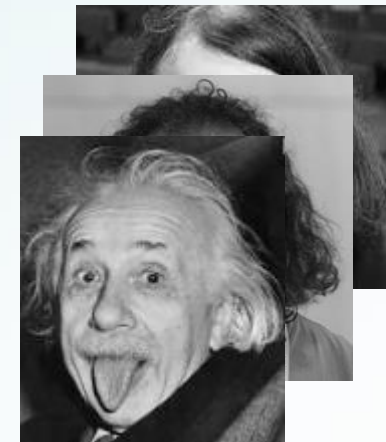
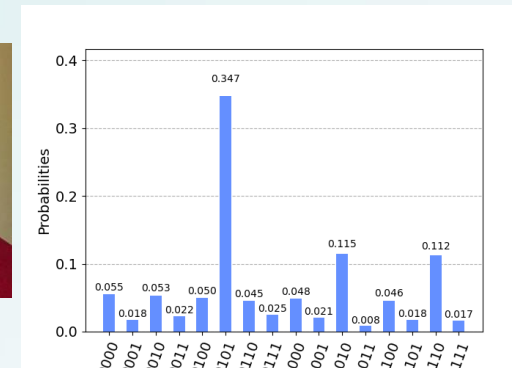
Mesure

Algorithmes de Grover

- Lov Grover (Bell Labs) découvre un algorithme qui permet de trouver un élément dans une table de taille N non triée ... en \sqrt{N}
- 3 étapes
 - Initialisation sur n qubits des $2^n=N$ états possibles
 - Demander à un oracle (U_ω) de définir l'élément à trouver
 - Révéler où est l'élément

← Superposition
← Intrication
← Mesure

Repeat $O(\sqrt{N})$ times



<https://roadef2021.sciencesconf.org/resource/page/id/11>
Définition d'une Recherche Opérationnelle Quantique (26/04/2021)

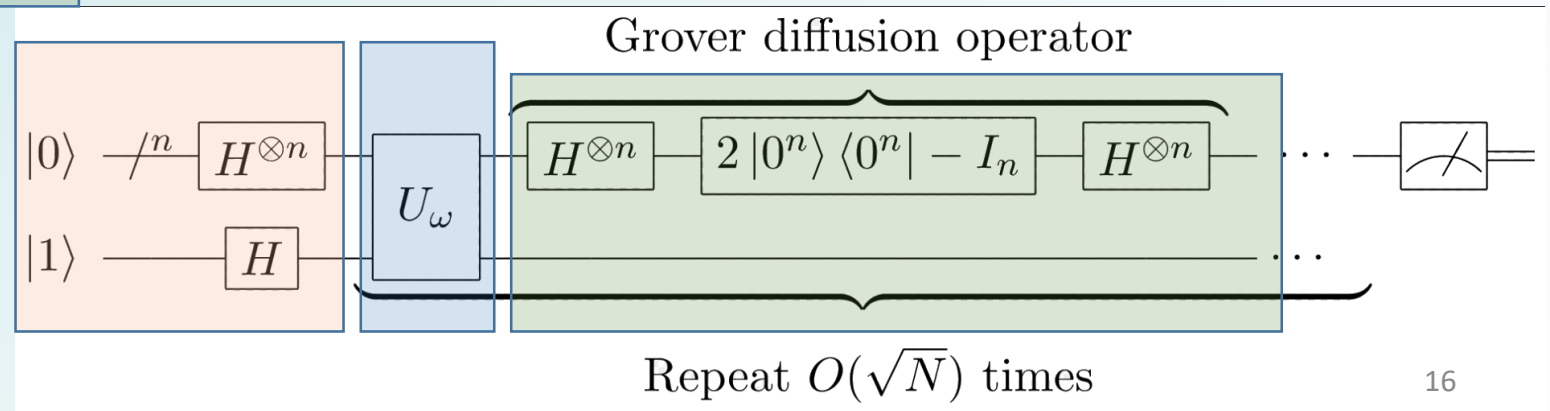
Algorithme de Grover

- Lov Grover (Bell Labs) découvre un algorithme qui permet de trouver un élément dans une table de taille N non triée en \sqrt{N}

- 3 étapes

- Initialisation sur n qubits des $2^n=N$ états possibles
- Demander à un oracle (U_ω) de définir l'élément à trouver
- Révéler où est l'élément

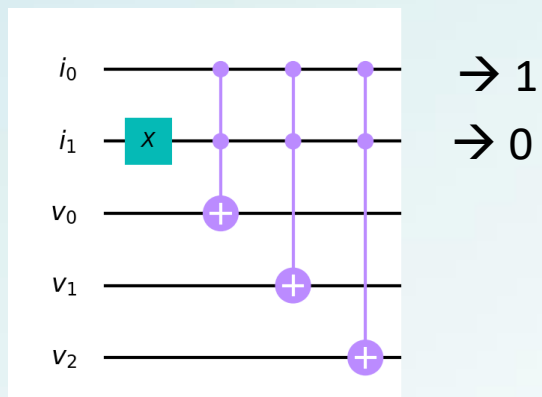
- ← Superposition
- ← Intrication
- ← Mesure



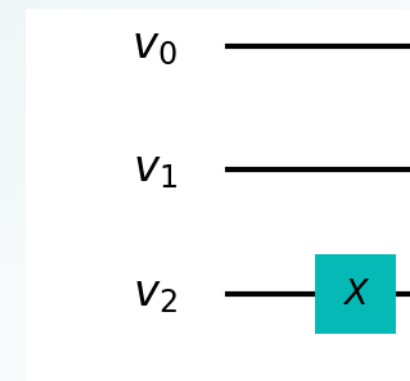


Accesneur dans un tableau

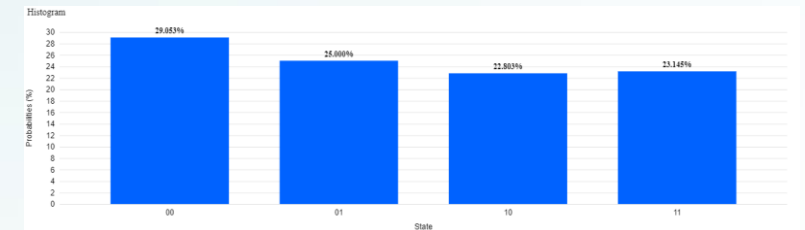
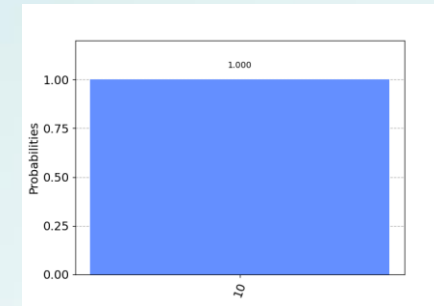
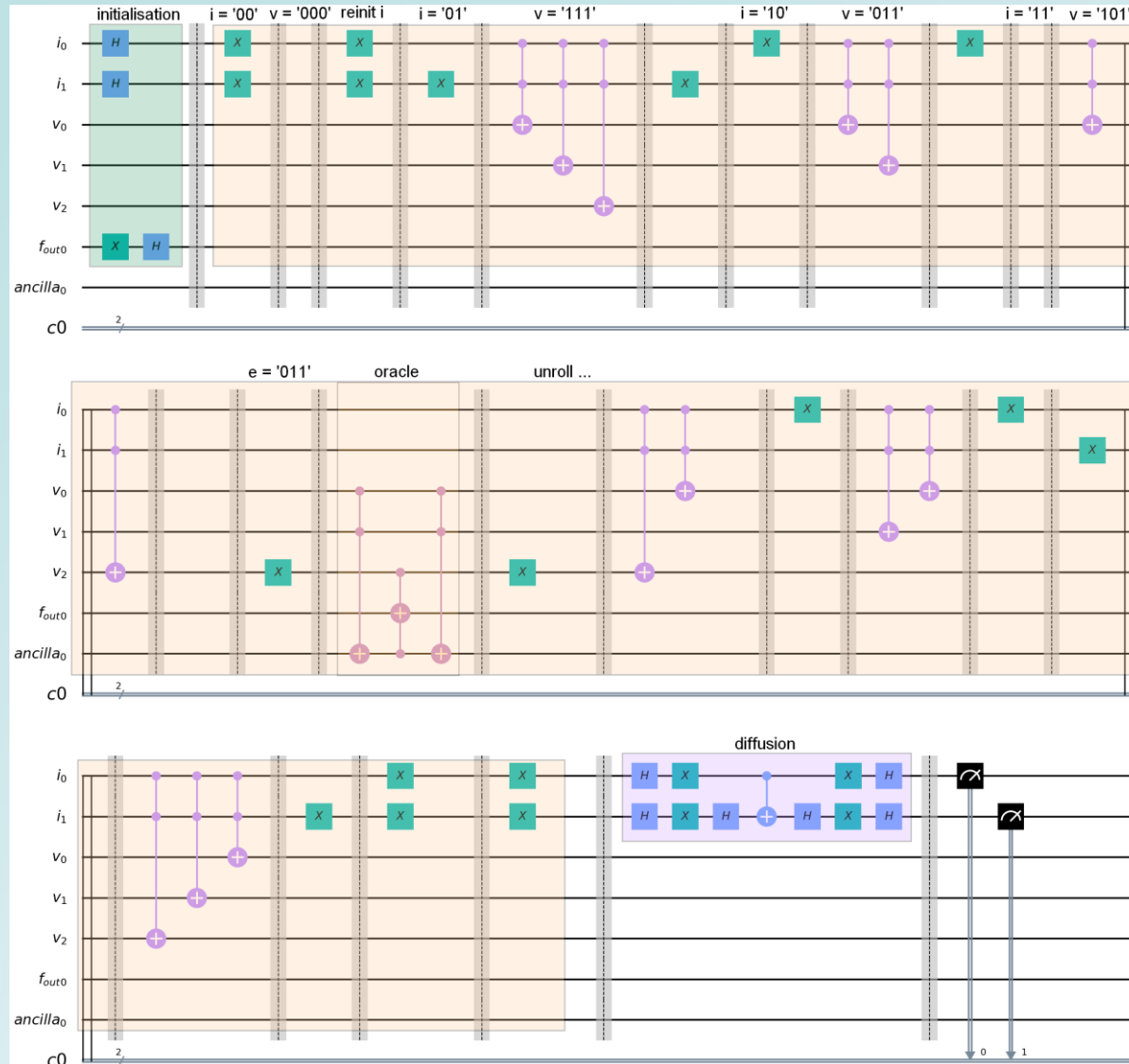
- $T = [0,7,3,5]$ on cherche l'élément $e=3$ dans le tableau. On veut déduire son indice.
- Soient 2 qubits pour les indices (allant de 0 à 3) superposés
- Soient 3 qubits pour les valeurs de T (allant de 0 à 7)
- Encoder 7 à la position 1, c'est encoder les valeurs v_i avec 1,1,1 et les indices i_1, i_0 avec 0,1



rechercher $e=3$, c'est encoder 001 sur v_i



Accesseur dans un tableau - $T = [0,7,3,5]$ $e=3$



Optimiser, c'est décider

- Recherche d'un minimum avec Grover
- « Existe-t-il une solution $< k$? », si oui itérer

A quantum algorithm for finding the element, C. Durr, 1996

- Si M solutions possibles, complexité de Grover $O(\sqrt{\frac{N}{M}})$
- Si nombre de solutions inconnu

```
Iter_max = 1
```

```
Tant que iter < sqrt(N)
```

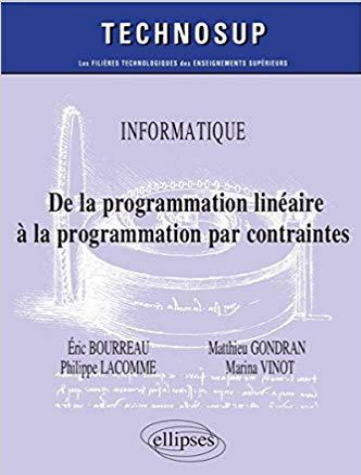
```
|   iter_max = iter_max * 4/3
```

```
|   iter = random(iter_max)
```

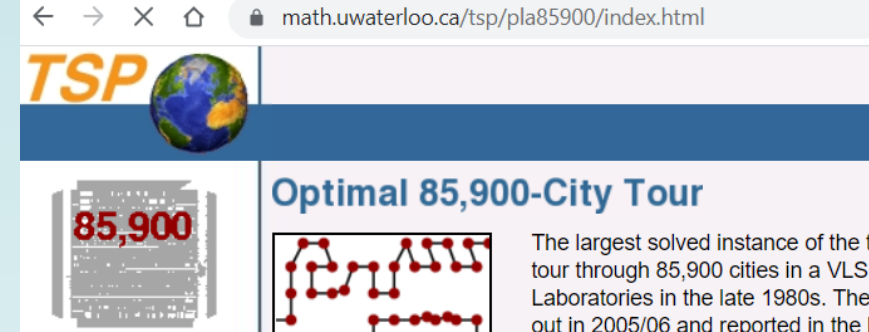
```
|   Grover avec iter itérations → si solution trouvée : goto fin
```

```
FinTantQue
```

```
Fin
```



Voyageur de commerce



5.9 Modélisation PPC du TSP

5.9.1 Principe général

Une solution du TSP peut s'écrire sous la forme d'un vecteur r : par exemple, $r = [2; 4; 5; 3; 1]$ représente la tournée : 2-4-5-3-1 comme le montre la Figure 5-28.

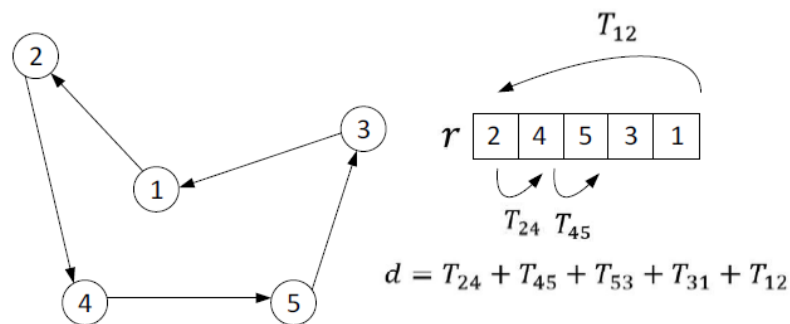


Figure 5-28. Une solution modélisée avec le vecteur r

Le coût d'une solution (distance totale) est la somme des distances à parcourir entre deux villes successives. Pour la tournée précédente, la distance est $d = T_{2,4} + T_{4,5} + T_{5,3} + T_{3,1} + T_{1,2}$.

Modélisation PPC du problème

$$\forall i = 1..N$$

$$r_i \in [1; n]$$

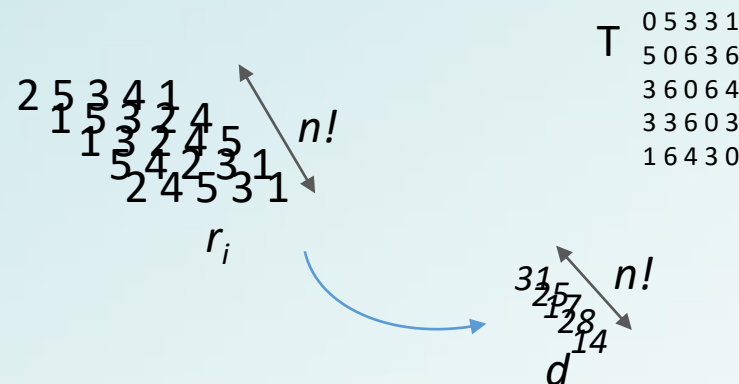
$$\forall i = 1..N, \forall j = 1..N$$

$$r_i \neq r_j$$

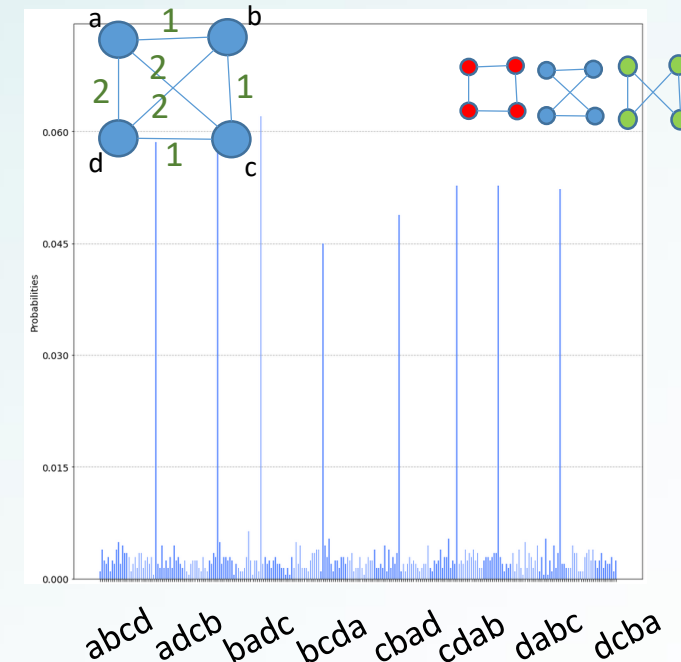
$$d = \sum_{i=1}^{N-1} T_{r_i, r_{i+1}} + T_{r_N, r_1}$$

$$\text{Min } d$$

- Le problème consiste à visiter une et une seule fois chaque ville en minimisant la distance totale parcourue.
- Modélisation Quantique



- Minimiser somme sur i des $D_{P_i P_{i+1}}$
 → accesseur d'une table
 $(i, P_i, P_{i+1}, D_{P_i P_{i+1}})$
- Utiliser Grover pour exhiber le minimum de d

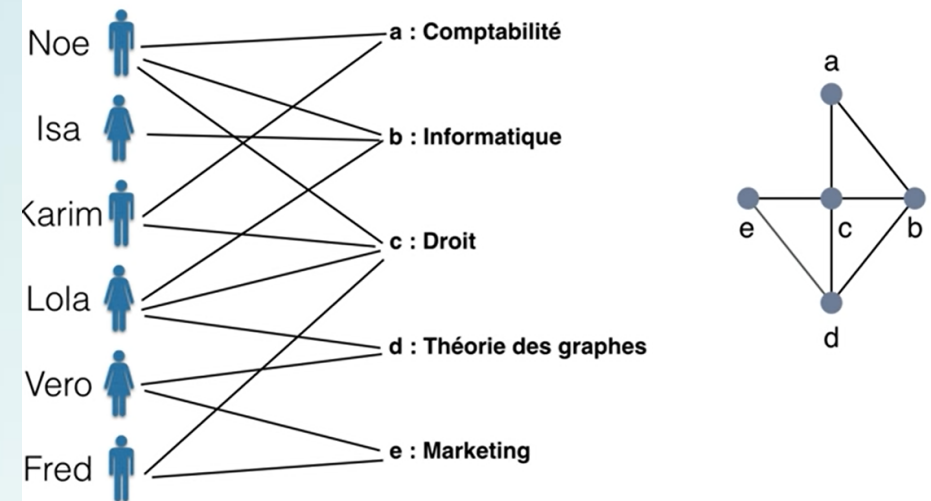


GT R novembre 2022 - TP Grover, Exercice 3

Encoder un problème de coloration

- Représenter un problème sous forme de graphe
 - Construction d'un emploi du temps
 - Une coloration du graphe des conflits fourni un planning
- Superposition
 - Variables de décision (couleur sur 2 QuBits)
 - H^{2n}
- Oracle (intrication)
 - Contraintes à satisfaire (opérateur 'différent')
 - Fonction de coût à minimiser (opérateur ' \leq ')
- Opérateur de Grover (révélateur)
- Itérer
- Mesurer

Coloration et plannings



https://www.youtube.com/watch?v=CUE7LC3CdH8&ab_channel=%C3%80lad%C3%A9couvertedesgraphes

Circuit Quantique pour la coloration avec Grover

Définitions

n variables de décision (couleur) codées sur $2*n$ QuBits

m booléens exprimant les différences sur les arêtes

Validation des contraintes

Nombre Chromatique

Décision ($\leq k?$)

$|0\rangle - |1\rangle$ Grover

QuBits

C_{a1}
 C_{a2}
 C_{b1}
..
 C_{e2}

$\neq_{a,b}$
 $\neq_{a,c}$
..
 $\neq_{d,e}$

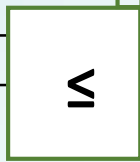
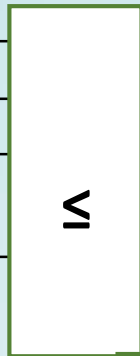
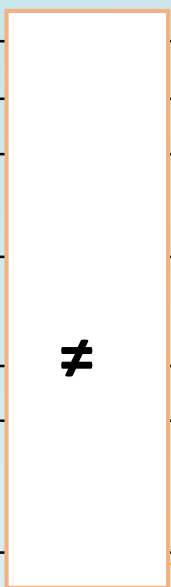
SAT

K_1
 K_2

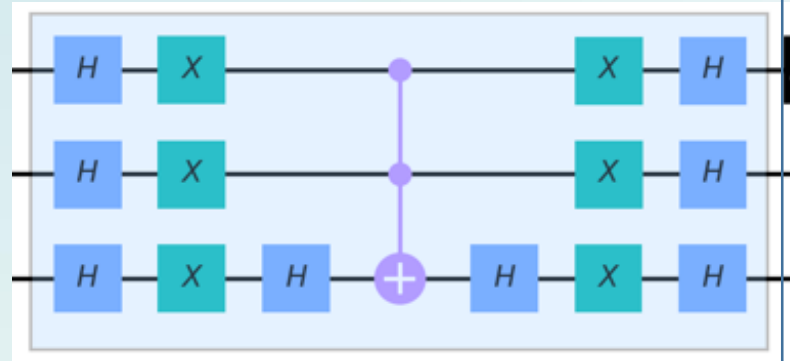
SAT

Y

Operateurs de l'Oracle



Operateur de Grover



Mesure



Ne pas oublier d'itérer



Conclusion et perspectives

- Exemples et codes disponibles sur le git du LIRMM
<https://gite.lirmm.fr/bourreau/quantumgroversearch>
(*somme, table, SAT, vertex cover, tsp, coloring*)
- De nouveaux algorithmes à inventer
 - Compromis entre la combinatoire et les propriétés quantiques des machines
 - Arbre de backtrack superposé sur une descente
+ estimation probabiliste = réduction quadratique de l'exploration
Quantum Walk speedup of backtracking algorithms, Montanaro 2016
Quantum algorithm for tree size estimation, Ambainis 2017
 - Algorithme de filtrage au sein de contraintes globales
 - Accélérateur de points intérieurs pour le SDP
 - ...